

Recovery map for Hayden- Preskill decoding protocol

宇賀神知紀さん (YITP)、宮田晃宏さん (KITS)との共同研究による

京都大学素粒子論研究室
中山泰晶

弦理論と場の理論2023@YITP

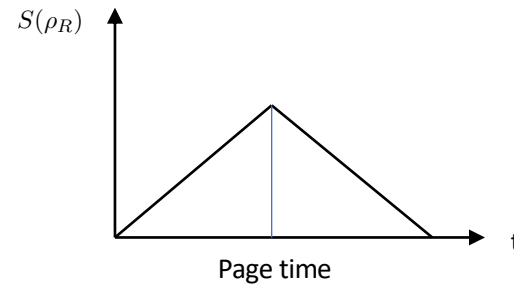
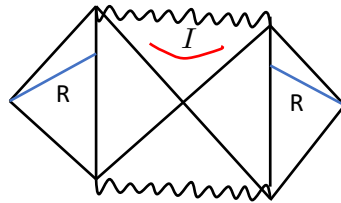
Introduction

ブラックホールの情報喪失問題 → 量子重力理論における難問
ホーキングの計算では情報は喪失する

Island公式によると、Page time以降にIsland領域が出現し、情報は回復する

[Penington 1905.08255, Almheiri-Engelhardt-Marolf-Maxfield 1905.08762]

$$S(\rho_R) = \text{MinExt}_I \left[\frac{A(\partial I)}{4G_N} + S_{\text{bulk}}(R \cup I) \right]$$



motivation:

ホーキング放射から具体的にどのようにして情報が取り出されるか、知りたい

Introduction

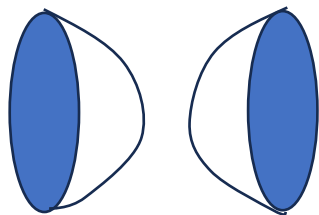
Page曲線はHolographicな計算をしないでも求めることができる

→ Gravitational Path Integralと Replica wormholeの計算

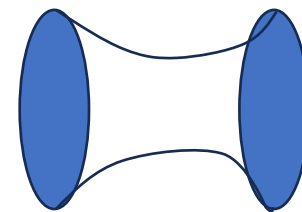
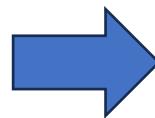
West Coast Paper → [Penigton-Shenker-Stanford-Yang 1911.11977]
[Almheiri-Hartman-Maldacena-Shaghoulian-Tajdini 1911.12333]

ブラックホールの微視的状態のrandomnessの平均を取ると、
Page timeを境に、時空の分かれたHawking saddleから、
時空がwormholeで繋がる Replica wormhole saddleに相転移し、
Page曲線を再現する

Island公式は本質的にrandomnessの計算であることがわかる



Hawking saddle



Replica wormhole

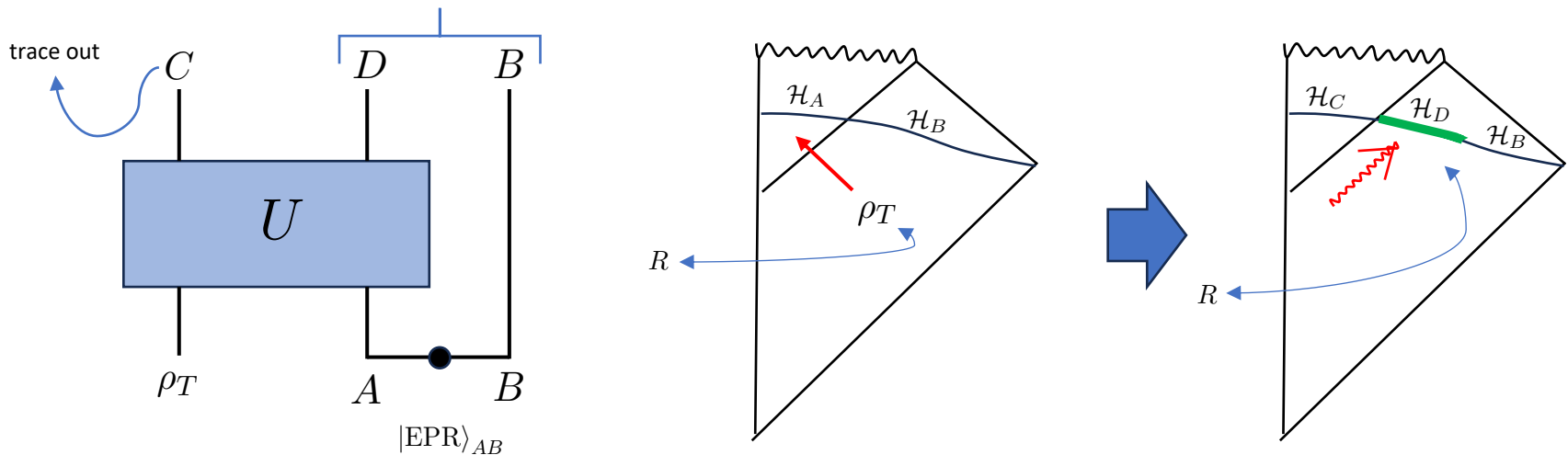
Introduction

一方、ブラックホールの情報喪失問題を量子情報理論的に取り扱う研究がHaydenとPreskillによりなされていた

Hayden-Preskill decoding protocol という

[Hayden-Preskill 0708.4025]

Tに入れた情報をD,Bから取り出すのに、どれくらいのDの大きさが必要か？



我々の研究：Hayden-Preskill decoding protocol において情報を取り出せる条件と、情報を取り出す方法を、West Coast Paper like にGravitationalな計算で求めた

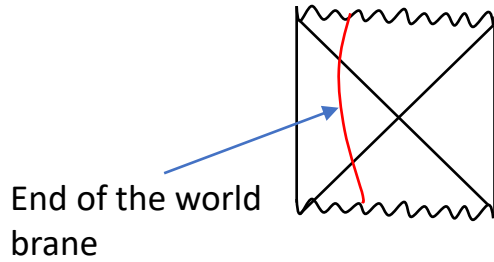
目次

1. Introduction
2. Hayden-Preskill、Quantum Error Correction、West Coast Paperの関係
3. Hayden-PreskillのRecovery mapについて(本論)
 - ① Hayden-PreskillでRecovery mapが存在する条件
 - ② Petz LiteがHayden-PreskillのRecovery mapになっていること
 - ③ Yoshida-KitaevのdecoderがPetz Liteとみなせること
4. Hayden-Preskill set upのSYKによる研究
5. 結論

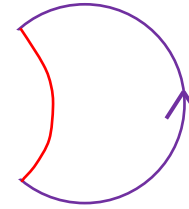
目次

1. Introduction
2. Hayden-Preskill、Quantum Error Correction、West Coast Paperの関係
3. Hayden-PreskillのRecovery mapについて(本論)
 - ① Hayden-PreskillでRecovery mapが存在する条件
 - ② Petz LiteがHayden-PreskillのRecovery mapになっていること
 - ③ Yoshida-KitaevのdecoderがPetz Liteとみなせること
4. Hayden-Preskill set upのSYKによる研究
5. 結論

West Coast Paper



Euclidean

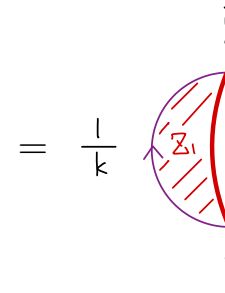


$$|\Psi\rangle = \frac{1}{k} \sum_{i=1}^k |\psi_i\rangle_B |i\rangle_R$$

$$\text{tr}[\rho_R] = \frac{1}{k} \sum_i \langle \psi_i | \psi_i \rangle_B$$

$$\rho_R = \text{tr}_B [|\Psi\rangle \langle \Psi|]$$

$$= \frac{1}{k} \sum_{i,j} |j\rangle_R \langle i| \langle \psi_i | \psi_j \rangle_B$$



$$= \frac{1}{k} Z_1 \sum_i \delta_{ii}$$

$$= Z_1$$

$$Z_n \propto e^{S_{BH} \cdot \chi}$$

West Coast Paper

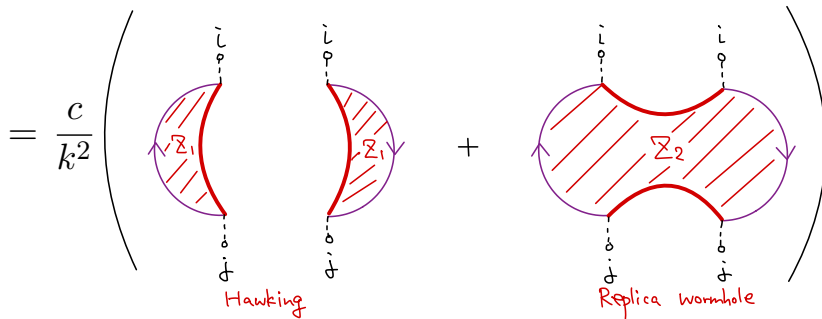
$$\rho_R^2 = \frac{1}{k^2} \sum_{i,j} \sum_l |j\rangle_R \langle i| \langle \psi_l | \psi_j \rangle_B \langle \psi_i | \psi_l \rangle_B$$

$$\text{tr} [\rho_R^2] = \frac{c}{k^2} \sum_{ij} \langle \psi_i | \psi_j \rangle \cdot \langle \psi_j | \psi_i \rangle$$

$$\text{tr} [\rho_R^2] = \frac{\frac{1}{k^2} (Z_1^2 k + Z_2 k^2)}{Z_1^2} = \frac{1}{k} + \frac{Z_2}{Z_1^2}$$

$$= \frac{1}{k} + e^{-S_{BH}}$$

$$= \begin{cases} \frac{1}{k} & k \ll e^{BH} \\ e^{-S_{BH}} & e^{BH} \ll k \end{cases}$$

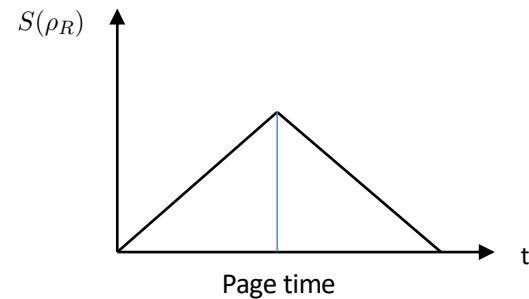


$$S(\rho_R) = \begin{cases} \log k & k \ll e^{BH} \\ S_{BH} & e^{BH} \ll k \end{cases}$$

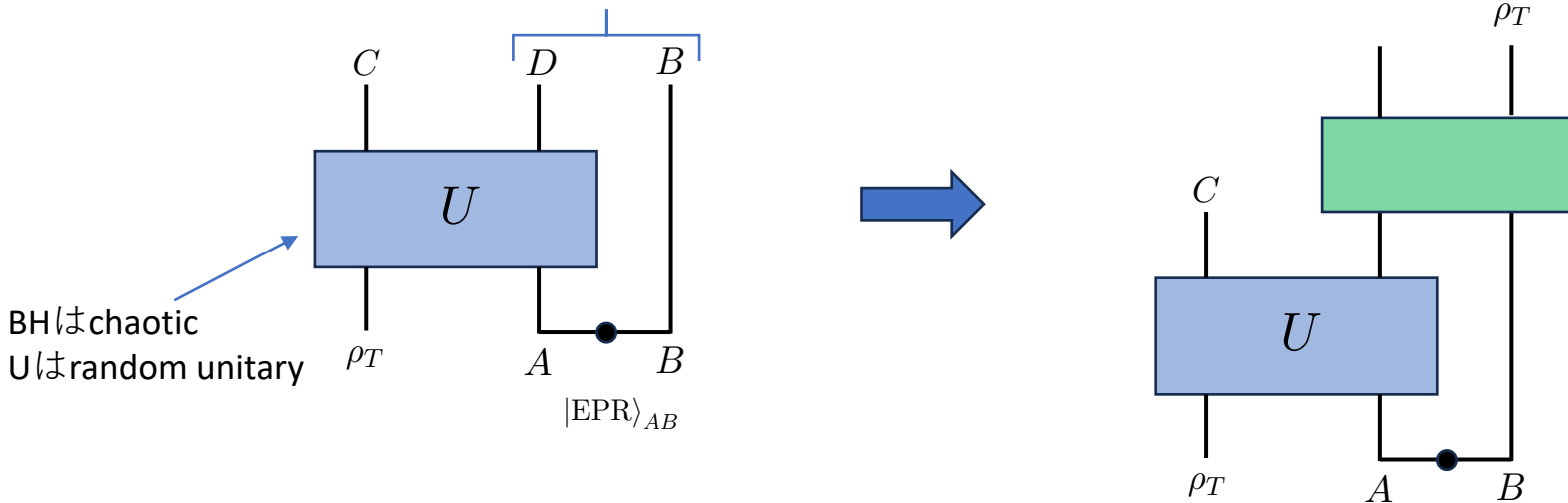
$$= \frac{c}{k^2} \left(Z_1^2 \sum_{ij} \delta_{ij} \delta_{ij} + Z_2 \sum_{ij} \delta_{ii} \delta_{jj} \right)$$

$$= \frac{c}{k^2} (Z_1^2 k + Z_2 k^2)$$

$$Z_1, Z_2 \propto e^{S_{BH}}$$



Hayden-Preskill の decoupling condition

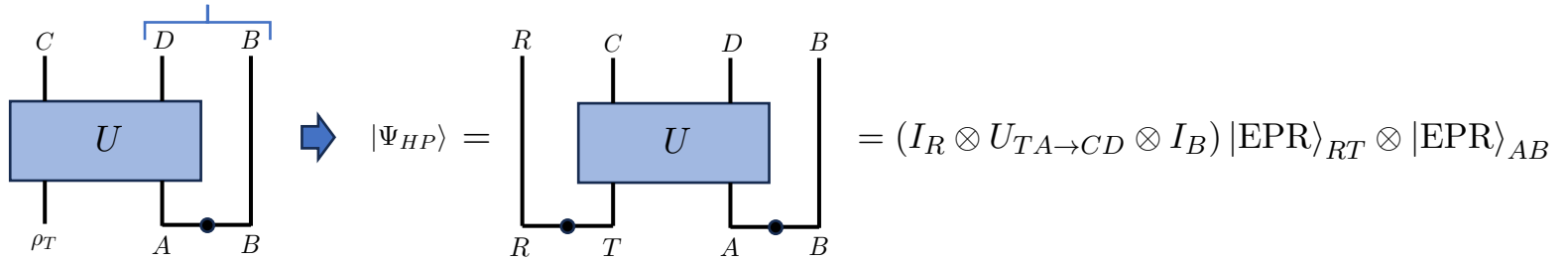


decoupling condition

$d_T \ll d_D$ となればただちに DB から ρ_T を復元できる
すなわち、 $\mathcal{R}_{DB \rightarrow T}[\mathcal{N}_{T \rightarrow DB}[\rho_T]] = \rho_T \quad \forall \rho_T \in \mathcal{H}_T$
なる recovery map $\mathcal{R}_{DB \rightarrow T}$ が存在する

(有限温度(TFD)の時、scrambling time $\beta \log S_A$ だけ余計にかかる)

Hayden-Preskill の decoupling condition



U を random unitary とすると $(\overline{\|\rho_{RC} - \rho_R \otimes \rho_C\|_1})^2 \leq \left(\frac{d_T}{d_D}\right)^2$ が示される

➡ d_D が d_T より十分大きくなれば、 R は C と decouple し、 T の情報が DB とエンタングルする (BH に投げ入れた情報が完全に radiation に流れ出る)

Haar random average の計算

$$\overline{\|\rho_{RC} - \rho_R \otimes \rho_C\|_1} = \int dU \|\rho_{RC} - \rho_R \otimes \rho_C\|_1$$

$$\left(\overline{\|\rho_{RC} - \rho_R \otimes \rho_C\|_1}\right)^2 \leq d_R d_C \cdot \overline{\text{tr}[\rho_{RC}^2]} - 1$$

$$\approx \left(\frac{d_T}{d_D}\right)^2$$

$$\overline{\text{tr}[\rho_{RC}^2]} = \frac{1}{d_T^2 d_A^2} \sum U_{CD,TA} U_{T'A,C'D}^\dagger U_{C'D',T'A'} U_{TA^\dagger,CD'}^\dagger$$

$$\approx \frac{1}{d_T^2 d_A^2} (d_A d_D + d_T d_C)$$

Weingarten calculus

$$\overline{U_{i_1 j_1} U_{i_2 j_2}^\dagger U_{i_3 j_3} U_{i_4 j_4}^\dagger}$$

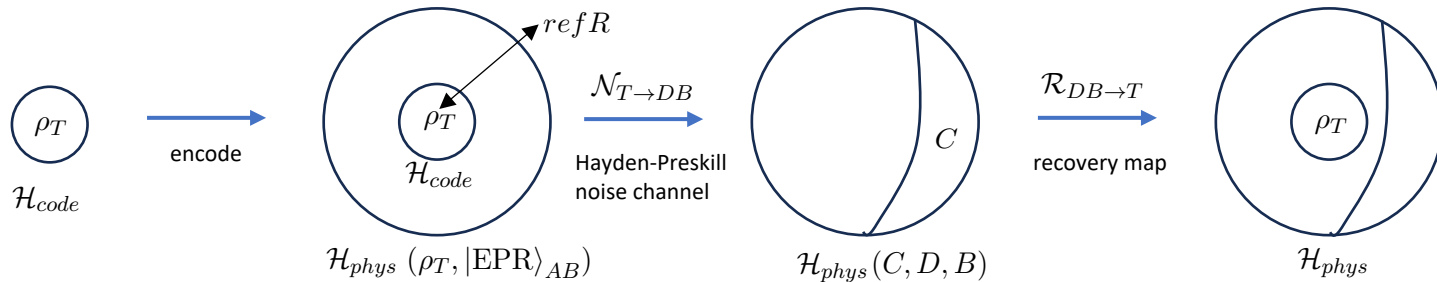
$$= \frac{1}{d^2 - 1} (\delta_{i_1 j_2} \delta_{j_1 i_2} \cdot \delta_{i_3 j_4} \delta_{j_3 i_4} + \delta_{i_1 j_4} \delta_{j_1 i_4} \cdot \delta_{i_3 j_2} \delta_{j_3 i_2})$$

$$- \frac{1}{d(d^2 - 1)} (\delta_{i_1 j_2} \delta_{j_1 i_4} \cdot \delta_{i_3 j_4} \delta_{j_3 i_2} + \delta_{i_1 j_4} \delta_{j_1 i_2} \cdot \delta_{i_3 j_2} \delta_{j_3 i_4})$$

d が十分大きいとき

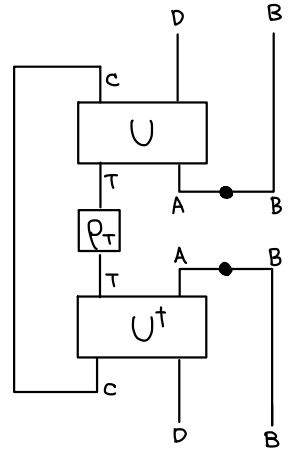
$$\rightarrow \overline{U_{i_1 j_1} U_{i_2 j_2}^\dagger} \cdot \overline{U_{i_3 j_3} U_{i_4 j_4}^\dagger} + \overline{U_{i_1 j_1} U_{i_4 j_4}^\dagger} \cdot \overline{U_{i_3 j_3} U_{i_2 j_2}^\dagger}$$

Quantum Error Correctionとの関係



Hayden-Preskill noise channel

$$\begin{aligned} \mathcal{N}_{T \rightarrow D, B}[\rho_T] &= \text{tr}_C \left[(U_{T, A \rightarrow C, D} \otimes I_B) (\rho_T \otimes |\text{EPR}\rangle_{A, B} \langle \text{EPR}|) (U_{T, A \rightarrow C, D}^\dagger \otimes I_B) \right] \\ &= \frac{1}{d_B} \sum_{\tilde{D}, \tilde{D}'=1}^{d_D} \sum_{\tilde{B}, \tilde{B}'=1}^{d_B} |\tilde{D}\rangle_D \langle \tilde{D}'| \otimes |\tilde{B}\rangle_B \langle \tilde{B}'| \sum_{C=1}^{d_C} \sum_{\tilde{T}, \tilde{T}'=1}^{d_T} U_{C, \tilde{D}; \tilde{T}, \tilde{B}} (\rho_T)_{\tilde{T}\tilde{T}'} U_{C, \tilde{D}'; \tilde{T}', \tilde{B}'}^\dagger \end{aligned} =$$



recovery mapが存在する条件はQuantum Error Correction(QEC) condition

Knill-Laflamme condition

$$P_{code} E_i^\dagger E_j P_{code} = \alpha_{ij} P_{code}$$

Sufficiency

$$S(\rho || \sigma) = S(\mathcal{N}[\rho] || \mathcal{N}[\sigma])$$

← relative entropy

$$S(\rho || \sigma) = \text{tr} [\rho (\log \rho - \log \sigma)]$$

として表される

Hayden-Preskillのdecoupling conditionはQEC conditionの一例と考えられる
 → Hayden-Preskill set upでSufficiencyをGravitationalに計算した
 → decoupling conditionが成り立つ時、Sufficiencyを満たすことがわかった

Quantum Error Correctionとの関係

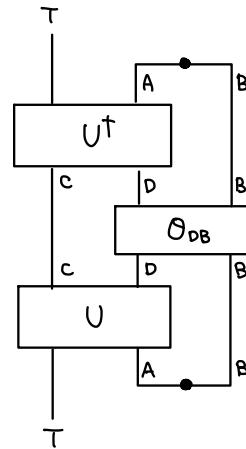
QEC conditionを満たす時、recovery mapとして、Petz recovery mapを構成できる

$$\mathcal{R}_{\sigma, \mathcal{N}}^{\text{Petz}}[\tau] = \sigma^{\frac{1}{2}} \mathcal{N}^\dagger [(\mathcal{N}[\sigma])^{-\frac{1}{2}} \tau (\mathcal{N}[\sigma])^{-\frac{1}{2}}] \sigma^{\frac{1}{2}}$$

ここで \mathcal{N}^\dagger は \mathcal{N} の adjoint channel ($\text{tr}_{DB} [\mathcal{N}_{T \rightarrow DB} [\rho_T] \mathcal{O}_{DB}] = \text{tr}_T [\rho_T \mathcal{N}_{DB \rightarrow T}^\dagger [\mathcal{O}_{DB}]]$)

Hayden-Preskill noise channelに対する adjoint channelは

$$\begin{aligned} \mathcal{N}_{D,B \rightarrow T}^\dagger [\mathcal{O}_{DB}] &= \text{tr}_{A,B} [|EPR\rangle_{A,B} \langle EPR| (U_{T,A \rightarrow C,D}^\dagger \otimes I_B) \mathcal{O}_{DB} (U_{T,A \rightarrow C,D} \otimes I_B)] \\ &= \frac{1}{d_B} \sum_{\tilde{T}, \tilde{T}'=1}^{d_T} |\tilde{T}\rangle_T \langle \tilde{T}'| \sum_{C=1}^{d_C} \sum_{\tilde{B}, \tilde{B}'=1}^{d_B} \sum_{\tilde{D}, \tilde{D}'=1}^{d_D} U_{\tilde{T}\tilde{B}, C\tilde{D}}^\dagger \mathcal{O}_{\tilde{D}\tilde{B}, \tilde{D}'\tilde{B}'} U_{C\tilde{D}', \tilde{T}'\tilde{B}'} \end{aligned} =$$



Hayden-Preskillのようなchaoticな理論ではscramblingにより、 $\mathcal{N}[\sigma]$ はflat spectrum 次のようなPetz liteの形まで単純化できる ($\sigma \propto I$ とできる)

$$\mathcal{R}_{D,B \rightarrow T}^{\text{Lite}} [\mathcal{O}_{DB}] := \frac{1}{N} \cdot \frac{d_B d_D}{d_T} \mathcal{N}_{D,B \rightarrow T}^\dagger [\mathcal{O}_{DB}]$$

Hayden-Preskill set upでPetz liteを構成し、実際にrecovery mapになっていること
すなわち $\overline{S(\rho \| \mathcal{R}^{\text{Lite}}[\mathcal{N}[\rho]])} = \overline{S(\rho \| \rho_T)} \approx 0$ が成り立つことをGravitationalな計算で示した

West Coast Paper との関係

noise channelとそのadjointを以下のようにWest Coast Paper likeなGravitational Path Integralの形に書き直すことができる

$$\mathcal{N}_{T \rightarrow D, B}[\rho_T] = \frac{1}{kd_C} \sum_{i, j=1}^k |i\rangle\langle j| \cdot \sum_{\tilde{T}, \tilde{T}'=1}^{d_T} \langle \psi_j^{\tilde{T}'} | \psi_i^{\tilde{T}} \rangle (\rho_T)_{\tilde{T}\tilde{T}'}$$

$$\mathcal{N}_{D, B \rightarrow T}^\dagger[\mathcal{O}_{DB}] = \frac{1}{kd_C} \sum_{T, T'=1}^{d_T} |T'\rangle\langle T| \cdot \sum_{i, j=1}^k \langle \psi_j^{T'} | \psi_i^T \rangle \langle j | \mathcal{O}_{DB} | i \rangle$$

以下導出

$$\begin{aligned} \mathcal{N}_{T \rightarrow D, B}[\rho_T] &= \text{tr}_C \left[(U_{T, A \rightarrow C, D} \otimes I_B) (\rho_T \otimes |\text{EPR}\rangle_{A, B} \langle \text{EPR}|) (U_{T, A \rightarrow C, D}^\dagger \otimes I_B) \right] \\ &= \frac{1}{d_B} \sum_{\tilde{D}, \tilde{D}'=1}^{d_D} \sum_{\tilde{B}, \tilde{B}'=1}^{d_B} |\tilde{D}\rangle_D \langle \tilde{D}'|_D \otimes |\tilde{B}\rangle_B \langle \tilde{B}'|_B \sum_{C=1}^{d_C} \sum_{\tilde{T}, \tilde{T}'=1}^{d_T} U_{C, \tilde{D}; \tilde{T}, \tilde{B}} (\rho_T)_{\tilde{T}\tilde{T}'} U_{\tilde{T}', \tilde{B}'; C, \tilde{D}'}^\dagger \\ &= \frac{d_D}{k} \sum_{i, j=1}^k |i\rangle\langle j| \sum_{\tilde{T}, \tilde{T}'=1}^{d_T} \sum_{C=1}^{d_C} U_{C, \tilde{T}; i} U_{j; C, \tilde{T}'}^\dagger (\rho_T)_{\tilde{T}\tilde{T}'} \end{aligned}$$

D と B をまとめてradiationの足 i とした ($i = 1, \dots, k$, $k = d_D d_B$)

重力の微視的状态を $|\psi_i^T\rangle_C := \sqrt{d_C d_D} \sum_{C=1}^{d_C} |C\rangle U_{C, T; i}$ と定義し、

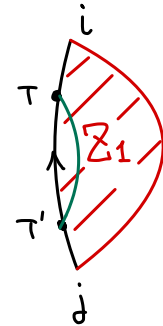
$$\langle \psi_i^T | \psi_j^{T'} \rangle = d_C d_D \sum_{C=1}^{d_C} U_{i; C, T}^\dagger U_{C, T'; j}$$

とすれば上記の式が得られる (T はcode subspaceの足)



West Coast Paperとの関係

$$\overline{\langle \psi_i^T | \psi_j^{T'} \rangle} = d_C d_D \sum_{C=1}^{d_C} \overline{U_{i;C,T}^\dagger U_{C,T';j}} = d_C \delta_{ij} \delta_{TT'} =$$

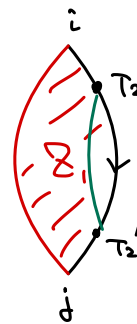
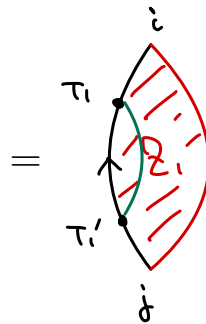


$$\overline{\langle \psi_i^{T_1} | \psi_j^{T'_1} \rangle} \cdot \overline{\langle \psi_j^{T_2} | \psi_i^{T'_2} \rangle} = (d_C d_D)^2 \sum_{C_1, C_2=1}^{d_C} \overline{U_{i;C_1,T_1}^\dagger U_{C_1,T'_1;j} U_{j;C_2,T'_2}^\dagger U_{C_2,T_2;i}}$$

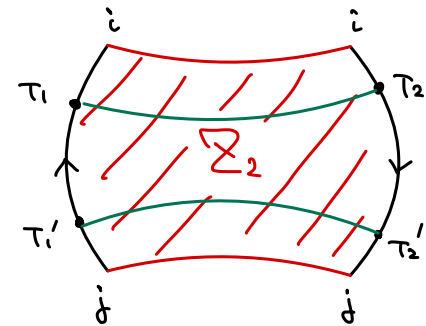
← Weingarten calculus

$$= d_C^2 \delta_{ij} \delta_{ji} \delta_{T_1 T'_1} \delta_{T_2 T'_2} + d_C \delta_{ii} \delta_{jj} \delta_{T_1 T_2} \delta_{T'_1 T'_2}$$

WCP like diagrammatic calculation



+



Hawking saddle

RW saddle

randomnessの平均の計算をdiagrammaticに行う規則が得られた

目次

1. Introduction
2. Hayden-Preskill、Quantum Error Correction、West Coast Paperの関係
3. Hayden-PreskillのRecovery mapについて(本論)
 - ① Hayden-PreskillでRecovery mapが存在する条件
 - ② Petz LiteがHayden-PreskillのRecovery mapになっていること
 - ③ Yoshida-KitaevのdecoderがPetz Liteとみなせること
4. Hayden-Preskill set upのSYKによる研究
5. 結論

得られた結果

- recovery mapが存在する必要十分条件は
 \mathcal{N} が $S(\rho||\sigma) = S(\mathcal{N}[\rho]||\mathcal{N}[\sigma])$ (sufficiency)を満たすことである
Hayden-Preskill set upでGravitationalにsufficiencyを計算して
late timeでsufficiencyを満たす(recovery mapが存在する)ことを示した
- decoupling conditionが成り立つ時、Petz liteはHayden-Preskillのrecovery mapとして機能すること、すなわち以下が成り立つことを示した
 - $\overline{S(\rho||\mathcal{R}^{\text{Lite}}[\mathcal{N}[\rho]])} = \overline{S(\rho||\rho'_T)} \approx 0$
 - $S(\rho||\sigma) \approx \overline{S(\mathcal{R}^{\text{Lite}}[\mathcal{N}[\rho]]||\mathcal{R}^{\text{Lite}}[\mathcal{N}[\sigma]])}$.
- Hayden-Preskillのdecoderとして知られているYoshida-Kitaev decoderはPetz liteとみなせることを示した

Hayden-PreskillでRecovery mapが存在する条件

$$S(\rho||\sigma) = \overline{S(\mathcal{N}[\rho]||\mathcal{N}[\sigma])} \quad \text{となる条件を求めよう}$$

$$\overline{S(\mathcal{N}[\rho]||\mathcal{N}[\sigma])} \approx \lim_{n \rightarrow 1} \frac{1}{n-1} \left(\log \overline{\text{tr} [\mathcal{N}[\rho]^n]} - \log \overline{\text{tr} [\mathcal{N}[\rho]\mathcal{N}[\sigma]^{n-1}]} \right)$$

を計算すれば良い

$\overline{\text{tr} [\mathcal{N}[\rho]^n]}$ は様々なsaddleの合計である

early timeではHawking saddle、late timeではRW saddleがdominant

$$\begin{aligned} \overline{\text{tr} [\mathcal{N}[\rho]^n]} \Big|_{\text{fully discon.}} &= \text{Diagram} \\ &= \frac{1}{(k d_C)^n} \cdot k (d_C)^n \sum_{T=1}^{d_T} \rho_{T_1 T_1} \rho_{T_2 T_2} \cdots \rho_{T_n T_n} \\ &= \frac{1}{(k)^{n-1}} (\text{tr} [\rho])^n \\ &= \frac{1}{(k)^{n-1}} \end{aligned}$$

Hawking saddle

Hayden-PreskillでRecovery mapが存在する条件

$$\overline{\text{tr}[\mathcal{N}[\rho^n]]}_{\text{fully conne.}} = \sum_4 \left[\text{Diagram} \right] = \frac{1}{(k d_C)^n} \cdot (k)^n d_C \sum_{T=1}^{d_T} \rho_{T_n T_{n-1}} \cdots \rho_{T_2 T_1} \rho_{T_1 T_n} = \frac{1}{(d_C)^{n-1}} \text{tr}[\rho^n]$$

$$\overline{\text{tr}[\mathcal{N}[\rho^n]]} = \frac{1}{(k)^{n-1}} (\text{tr}[\rho])^n + \frac{1}{(d_C)^{n-1}} \text{tr}[\rho^n] + \dots,$$

$$\approx \begin{cases} \frac{1}{(k)^{n-1}} & k \ll d_C \Leftrightarrow d_T \ll \left(\frac{d_T}{d_D}\right)^2 \\ \frac{1}{(d_C)^{n-1}} \text{tr}[\rho^n] & d_C d_T \ll k \Leftrightarrow \left(\frac{d_T}{d_D}\right)^2 \ll 1 \end{cases}$$

$$\overline{S(\mathcal{N}[\rho] || \mathcal{N}[\sigma])} = \begin{cases} 0 & k \ll d_C \Leftrightarrow d_T \ll \left(\frac{d_T}{d_D}\right)^2 \\ S(\rho || \sigma) & k \gg d_C d_T \Leftrightarrow \left(\frac{d_T}{d_D}\right)^2 \ll 1. \end{cases}$$

$$\overline{\text{tr}[\mathcal{N}[\rho] \mathcal{N}[\sigma^{n-1}]]} = \frac{1}{(k)^{n-1}} \text{tr}[\rho] (\text{tr}[\sigma])^{n-1} + \frac{1}{(d_C)^{n-1}} \text{tr}[\rho \sigma^{n-1}] + \dots,$$

$$\approx \begin{cases} \frac{1}{(k)^{n-1}} & k \ll d_C \Leftrightarrow d_T \ll \left(\frac{d_T}{d_D}\right)^2 \\ \frac{1}{(d_C)^{n-1}} \text{tr}[\rho \sigma^{n-1}] & k \gg d_C d_T \Leftrightarrow \left(\frac{d_T}{d_D}\right)^2 \ll 1 \end{cases},$$

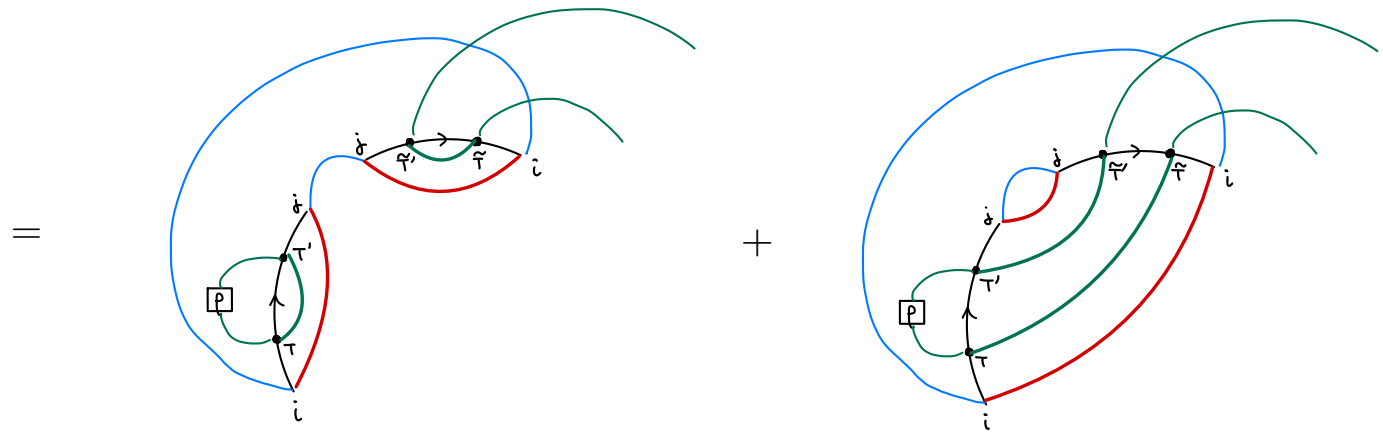
late timeでSufficiency条件を満たすことがわかる

WCP likeな計算では、各時点でのsaddleがdominantかの詳細が明確である

Petz LiteがHayden-PreskillのRecovery mapになっていること

$\rho'_T := \mathcal{R}^{\text{Lite}}[N[\rho]]$ のaverageを求めておく

$$\overline{\rho'_T} = \frac{1}{N} \frac{1}{kd_C^2 d_T} \sum_{\tilde{T}, \tilde{T}'} |\tilde{T}\rangle_T \langle \tilde{T}'| \sum_{T, T'} \sum_{ij} \overline{\langle \psi_i^{\tilde{T}} | \psi_j^{\tilde{T}'} \rangle \langle \psi_j^{T'} | \psi_i^T \rangle} \rho_{TT'}$$



$$= \frac{1}{N} \frac{1}{kd_C^2 d_T} (kd_C^2 I_T + k^2 d_C \rho_T)$$

$\overline{\text{tr}[\rho'_T]} = \text{tr}[\rho_T] = 1$ で規格化すると

$$\overline{\rho'_T} = \frac{\rho + \left(\frac{d_T}{d_D}\right)^2 \cdot \frac{I_T}{d_T}}{1 + \left(\frac{d_T}{d_D}\right)^2} \text{ となる}$$

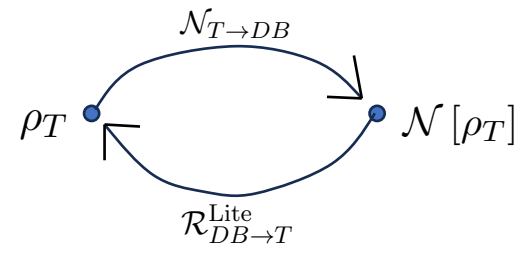
Petz LiteがHayden-PreskillのRecovery mapになっていること

$$\overline{S(\rho || \mathcal{R}^{\text{Lite}}[\mathcal{N}[\rho]])} = \overline{S(\rho || \rho'_T)} \approx 0 \quad \text{を示す}$$

$$\begin{aligned} \overline{S(\rho || \rho'_T)} &= \overline{\text{tr} [\rho (\log \rho - \log \rho'_T)]} \\ &= S(\rho) - \overline{\lim_{n \rightarrow 1} \frac{1}{n-1} \log \text{tr} [\rho (\rho'_T)^{n-1}]} \\ &\approx S(\rho) - \overline{\lim_{n \rightarrow 1} \frac{1}{n-1} \log \text{tr} [\rho (\overline{\rho'_T})^{n-1}]} \\ &\approx S(\rho) - \lim_{n \rightarrow 1} \frac{1}{n-1} \log \text{tr} [\rho (\overline{\rho'_T})^{n-1}] \quad \leftarrow \overline{\text{tr} [\rho (\rho'_T)^{n-1}]} \approx \text{tr} [\rho (\overline{\rho'_T})^{n-1}] \\ &= S(\rho || \overline{\rho'_T}), \end{aligned}$$

$$\approx \begin{cases} S(\rho || \frac{I_T}{d_T}) & k \ll d_C \Leftrightarrow d_T \ll \left(\frac{d_T}{d_D}\right)^2 \\ S(\rho || \rho) & k \gg d_C d_T \Leftrightarrow \left(\frac{d_T}{d_D}\right)^2 \ll 1 \end{cases}$$

$$= \begin{cases} S(\rho || \frac{I_T}{d_T}) & k \ll d_C \Leftrightarrow d_T \ll \left(\frac{d_T}{d_D}\right)^2 \\ 0 & k \gg d_C d_T \Leftrightarrow \left(\frac{d_T}{d_D}\right)^2 \ll 1. \end{cases}$$



late timeでは、我々の構成したPetz liteで ρ_T をrecoverできることがわかる

Petz LiteがHayden-PreskillのRecovery mapになっていること

$\overline{S(\mathcal{R}^{\text{Lite}}[\mathcal{N}[\rho]] \parallel \mathcal{R}^{\text{Lite}}[\mathcal{N}[\sigma]])} \approx S(\rho \parallel \sigma)$ も確かめよう

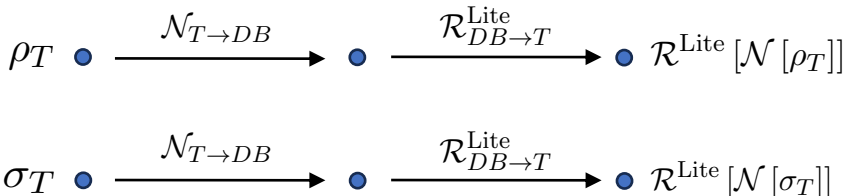
$$\begin{aligned} \overline{S(\rho'_T \parallel \sigma'_T)} &\approx \lim_{n \rightarrow 1} \frac{1}{n-1} \left(\log \overline{\text{tr}[(\rho'_T)^n]} - \log \overline{\text{tr}[\rho'_T (\sigma'_T)^{n-1}]} \right) \\ &\approx \lim_{n \rightarrow 1} \frac{1}{n-1} \left(\log \text{tr}[(\overline{\rho'_T})^n] - \log \text{tr}[\overline{\rho'_T} (\overline{\sigma'_T})^{n-1}] \right) \\ &= S(\overline{\rho'_T} \parallel \overline{\sigma'_T}), \end{aligned}$$

$$\approx \begin{cases} S\left(\frac{I_T}{d_T} \parallel \frac{I_T}{d_T}\right) & k \ll d_C \Leftrightarrow d_T \ll \left(\frac{d_T}{d_D}\right)^2 \\ S(\rho \parallel \sigma) & k \gg d_C d_T \Leftrightarrow \left(\frac{d_T}{d_D}\right)^2 \ll 1 \end{cases}$$

$$= \begin{cases} 0 & k \ll d_C \Leftrightarrow d_T \ll \left(\frac{d_T}{d_D}\right)^2 \\ S(\rho \parallel \sigma) & k \gg d_C d_T \Leftrightarrow \left(\frac{d_T}{d_D}\right)^2 \ll 1, \end{cases}$$

$$\overline{\rho'_T} = \frac{\rho + \left(\frac{d_T}{d_D}\right)^2 \cdot \frac{I_T}{d_T}}{1 + \left(\frac{d_T}{d_D}\right)^2}, \quad \overline{\sigma'_T} = \frac{\sigma + \left(\frac{d_T}{d_D}\right)^2 \cdot \frac{I_T}{d_T}}{1 + \left(\frac{d_T}{d_D}\right)^2}$$

late time では、 $\overline{S(\mathcal{R}^{\text{Lite}}[\mathcal{N}[\rho]] \parallel \mathcal{R}^{\text{Lite}}[\mathcal{N}[\sigma]])} \approx S(\rho \parallel \sigma)$ が成り立つ



一般にはCPTP mapで距離は単調減少
 (Uhlmann's monotonicity theorem)
 Cが十分小さければ距離を保つ(sufficient algebra)

Petz LiteがHayden-PreskillのRecovery mapになっていること

(補足) $\overline{\text{tr}[(\rho'_T)^n]} = \text{tr}[(\overline{\rho'_T})^n]$ について

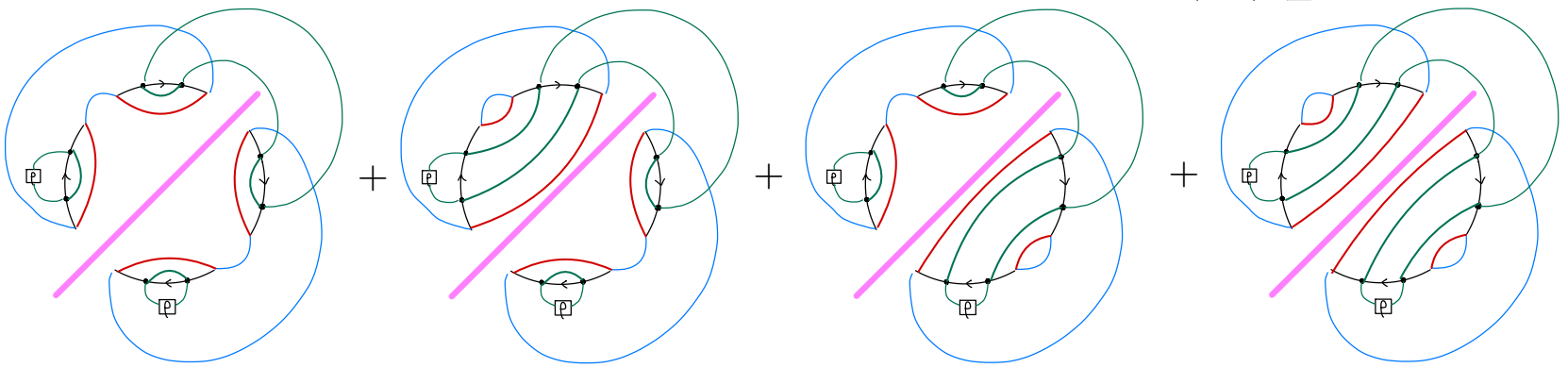
$n = 2$ case

$$\overline{\text{tr}[(\rho'_T)^2]} = \frac{1}{N^2} \cdot \frac{1}{(k d_C)^2 d_T^2} \sum_{\tilde{T}=1}^{d_T} \sum_{T, T'=1}^{d_T} \sum_{i, j=1}^k \overline{\langle \psi_{i_1}^{\tilde{T}_2} | \psi_{j_1}^{\tilde{T}_1} \rangle \langle \psi_{j_1}^{T'_1} | \psi_{i_1}^{T_1} \rangle \rho_{T_1 T'_1} \cdot \langle \psi_{i_2}^{\tilde{T}_2} | \psi_{j_2}^{\tilde{T}_1} \rangle \langle \psi_{j_2}^{T'_2} | \psi_{i_2}^{T_2} \rangle \rho_{T_2 T'_2}}$$

$$\begin{aligned} & \overline{\text{tr}[(\rho'_T)^2]} \Big|_{\text{Planar.}} \\ &= \frac{1}{N^2} \cdot \frac{(k d_C)^4}{(k d_C)^2 d_T^2} \left\{ \overbrace{\left(\frac{d_T}{k^2} + \frac{2}{k d_C} + \frac{\text{tr}[\rho^2]}{(d_C)^2} \right)}^{\text{leading term}} \right. \\ & \quad \left. + \frac{1}{k d_C} \left[\frac{1}{k^2} (2 + d_T \text{tr}[\rho^2]) + (d_T)^2 \right. \right. \\ & \quad \left. \left. + \frac{1}{k d_C} ((d_T)^2 \text{tr}[\rho^2] + 2d_T + 2 \text{tr}[\rho^2]) + \frac{1}{(d_C)^2} d_T \text{tr}[\rho^2] \right] \right\} \end{aligned}$$

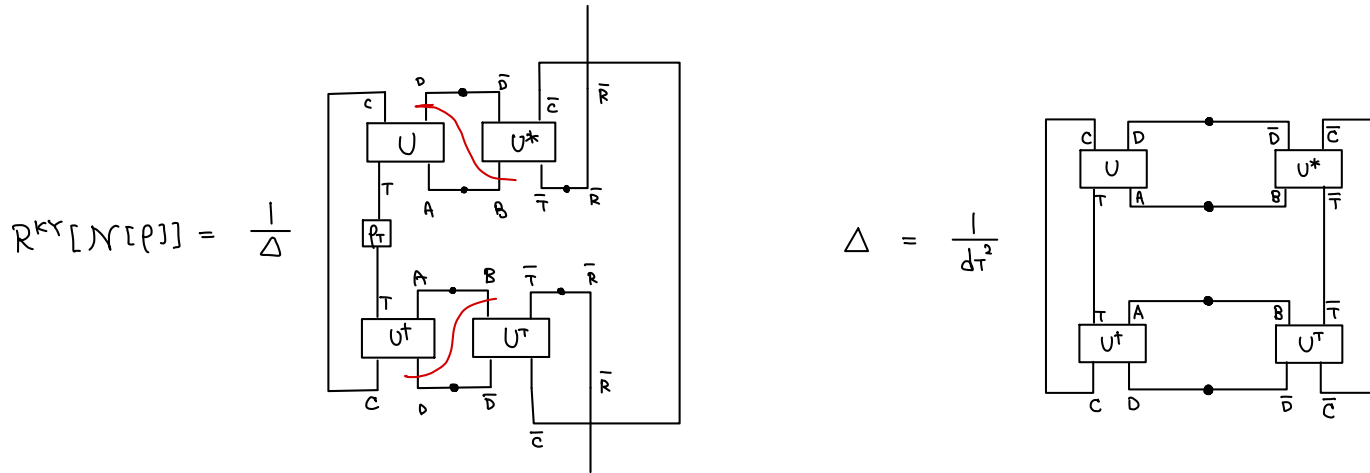
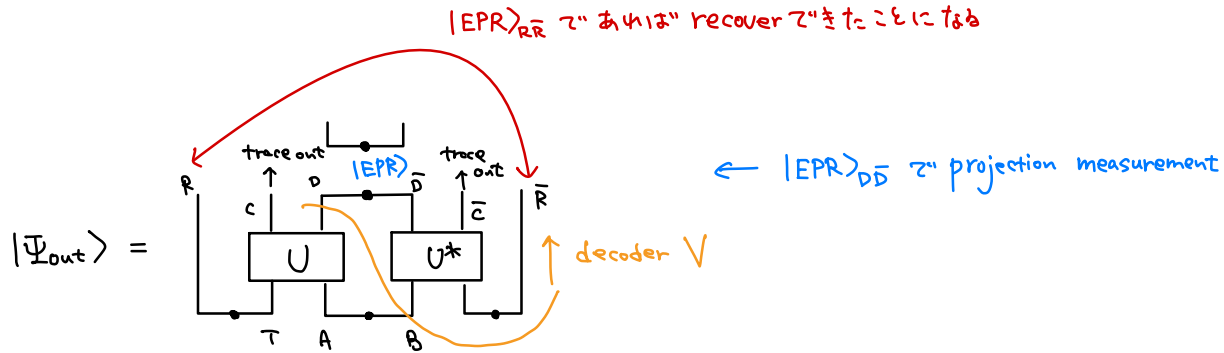
$d_T \ll k d_C$ であればleadingのみ拾ってこれる

$$k = d_D d_B$$



Yoshida-KitaevのdecoderがPetz Liteとみなせること

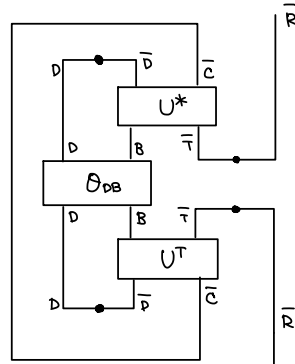
最後にYoshida-Kitaev decoderがPetz liteとみなせることを示す



$$\begin{aligned} \mathcal{R}_{D,B \rightarrow \bar{R}}^{KY}[O_{DB}] &= \frac{1}{\Delta} \text{tr}_{\bar{C}} \left[{}_{D,\bar{D}}\langle EPR | U_{B,\bar{T} \rightarrow \bar{C},\bar{D}}^* \left(O_{DB} \otimes |EPR\rangle_{\bar{T},\bar{R}} \langle EPR| \right) U_{B,\bar{T} \rightarrow \bar{C},\bar{D}}^T |EPR\rangle_{D,\bar{D}} \right] \\ &= V_{T \rightarrow \bar{R}} \mathcal{R}_{D,B \rightarrow T}^{\text{Lite}}[O_{DB}] V_{T \rightarrow \bar{R}}^\dagger \end{aligned}$$

Yoshida-KitaevのdecoderがPetz Liteとみなせること

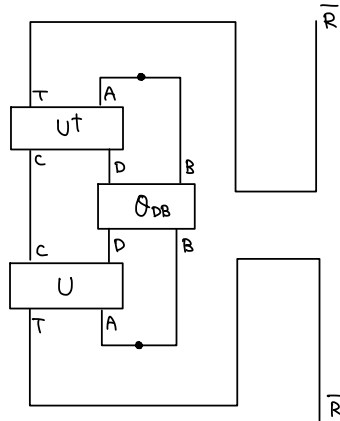
$$\mathcal{R}_{DB \rightarrow \bar{R}}^{\leftarrow T}[\mathcal{O}_{DB}] = \frac{1}{\Delta}$$



← operator transpose
(cf. Reeh-Schlieder)

$$= \frac{1}{\Delta} \frac{d_B}{d_T d_D}$$

$$= \frac{d_C}{d_T^2 \Delta}$$



$$\frac{d_C}{(d_T)^2 \Delta} = \frac{d_C}{1 + \left(\frac{d_T}{d_D}\right)^2}$$

これはPetz liteの規格化定数に一致する

$$= \frac{d_C}{d_T^2 \Delta} V_{T \rightarrow \bar{R}} N_{DB \rightarrow T}^\dagger[\mathcal{O}_{DB}] V_{T \rightarrow \bar{R}}^\dagger$$

$$= V_{T \rightarrow \bar{R}} \mathcal{R}_{D, B \rightarrow T}^{\text{Lite}}[\mathcal{O}_{DB}] V_{T \rightarrow \bar{R}}^\dagger$$

Yoshida-Kitaev decoderを
Hayden-PreskillにおけるPetz liteと同一視できた

目次

1. Introduction
2. Hayden-Preskill、Quantum Error Correction、West Coast Paperの関係
3. Hayden-PreskillのRecovery mapについて(本論)
 - ① Hayden-PreskillでRecovery mapが存在する条件
 - ② Petz LiteがHayden-PreskillのRecovery mapになっていること
 - ③ Yoshida-KitaevのdecoderがPetz Liteとみなせること
4. Hayden-Preskill set upのSYKによる研究
5. 結論

Hayden-Preskill set upのSYKによる研究

Hayden-Preskill set upではdynamicsをrandomなunitary gateとしていた



より物理として意味のある議論がしたい(場の理論で研究したい)



- dynamicsをSYK modelのHamiltonianとし、投げ込む情報をMajorana fermionとする
- old BHとearly radiationをEPR pair(高温極限)からTFD stateにする

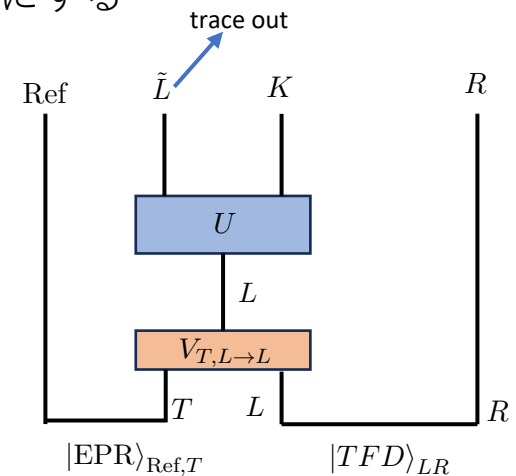
fermionの埋め込み

$$(V_{T,L \rightarrow L} \otimes I_R) (|T\rangle_T \otimes |\text{TFD}\rangle_{L,R}) := \begin{cases} |\text{TFD}\rangle_{L,R} & \text{for } T = 0 \\ \psi_{i,L}(0) |\text{TFD}\rangle_{L,R} & \text{for } T = 1 \end{cases}$$

Hayden-PreskillをSYKで考えると

$$|\Psi_{\text{SYK HP}}\rangle = (I_{\text{Ref}} \otimes U_L(t) \otimes I_R) (I_{\text{Ref}} \otimes V_{T,L \rightarrow L} \otimes I_R) (|\text{EPR}\rangle_{\text{Ref},T} \otimes |\text{TFD}\rangle_{L,R})$$

$$U_L(t) = \exp(-itH_L)$$



Hayden-Preskill set upのSYKによる研究

やったこと

- SYK modelでHayden-Preskill noise channelとPetz liteを構成した
- stateにnoise channelをかけたあとPetz liteをかけてrecover

できるか、すなわち $\langle T | \mathcal{R}_{K,R \rightarrow T}^{\text{Lite, SYK}} [\mathcal{N}_{T \rightarrow K,R}^{\text{SYK}} [| \tilde{T}' \rangle_T \langle \tilde{T} |]] | T' \rangle$

を計算するとmodular flowed correlatorで表されることがわかった

- modular flowed correlatorを計算することにより、

挿入したstateをrecoverするのにscrambling timeの2倍の時間

かかることがわかった。noise channelとrecovery mapに

それぞれscrambling timeだけかかっていると解釈できる

結論

- Hayden-Preskill noise channelとそのadjoint channelを構成し、West Coast Paper likeなGravitational Path Integralの計算に帰着させた
- SufficiencyをWCP likeに計算し、decoupling conditionを満たすlate timeではrecovery mapが存在することを示した
- そのrecovery mapとしてPetz liteが使えることを示した
- Yoshida-Kitaev decoderがPetz liteとみなせることを示した
- Hayden-Preskill set upをSYK modelで記述し、recoverabilityの計算をすることで挿入したstateをrecoverするのにscrambling timeの2倍かかることを示した